

西德耶纳肖特玻璃厂

光学玻璃目录

(仅供内部参考)

第一机械工业部技术情报所

毛主席语录

中国人民有志气，有能力，一定要在不远的将来，赶上和超过世界先进水平。

打破洋框框，走自己工业发展道路。

外国有有的，我们要有，外国没有的，我们也要有。

对于外国文化，排外主义的方针是错误的，应当尽量吸收进步的外国文化，以为发展中国新文化的借镜；盲目搬用的方针也是错误的，应当以中国人民的实际需要为基础，批判地吸收外国文化。

我们不能走世界各国技术发展的老路，跟在别人后面一步一步地爬行。我们必须打破常规，尽量采用先进技术，在一个不太长的历史时期内，把我国建设成为一个社会主义的现代化的强国。

翻 译 说 明

在波澜壮阔的无产阶级文化大革命的推动下，在毛主席无产阶级革命路线指引下，我国工农业各条战线热气腾腾，一片兴旺，一个伟大的社会主义革命和社会主义建设的新高潮正在兴起，光学玻璃工业也面临着飞速发展的新局面。

为了适应这种新形势的需要，我们遵循毛主席“**洋为中用**”和“**知彼知己，百战不殆**”的教导，翻译了这册《西德耶纳肖特玻璃厂光学玻璃目录》，作为情报资料，供生产、科研、设计等有关单位内部参考。

本目录列出了 243 种光学玻璃的性能参数表，同时还对光学玻璃的各种特性和等级分类作了概要介绍，并示出一些必要的图线。

毛主席教导我们：“一切外国的东西，如同我们对于食物一样，必须经过自己的口腔咀嚼和肠胃运动，送进唾液胃液肠液，把它分解为精华和糟粕两部分，然后排泄其糟粕，吸收其精华”。望有关单位在参阅本目录时，遵照毛主席这一伟大教导，“学那些和我国情况相适合的东西”，使之更好地为社会主义建设服务。

毛主席又教导我们：“**中国人民有志气，有能力，一定要在不远的将来，赶上和超过世界先进水平**”。我们一定要有雄心壮志敢于走前人没有走过的道路，敢于攀登前人没有攀登过的高峰，打破常规，尽量采用先进技术，在一个不太长的历史时期内，使我国光学玻璃工业赶上和超过世界先进水平。

由于水平有限，在翻译出版过程中，会有缺点和错误，敬希有关单位批评指正。

1971 年 5 月

目 录

| | |
|----------------------------------|----|
| 1. 光学玻璃牌号的名称 | 1 |
| 2. 光学性能 | 2 |
| a) 折射率和色散 | 2 |
| b) 色散公式 | 3 |
| c) 二级光谱 | 4 |
| d) 温度对折射率和色散的影响 | 5 |
| e) 紫外光谱的折射率 | 13 |
| f) 红外光谱的折射率 | 15 |
| g) 应力对折射率的影响 | 16 |
| 3. 化学稳定性 | 17 |
| a) 对潮湿大气作用的稳定性 | 17 |
| b) 抗腐蚀能力 | 18 |
| 4. 热学性能 | 19 |
| a) 热膨胀 | 19 |
| b) 转变温度 | 19 |
| c) 比热和热导率 | 20 |
| 5. 机械性能 | 21 |
| a) 杨氏模量, 刚性模量和泊松比 | 21 |
| b) 显微压痕硬度 | 22 |
| 6. 玻璃的形状和质量指标 | 25 |
| a) 玻璃的形状 | 25 |
| b) 光学玻璃的实际光学数据与表中标准数据的允许差值 | 25 |
| c) 条纹 | 26 |
| d) 光学均匀性(折射率的变化) | 27 |
| e) 应力双折射 | 28 |
| f) 气泡 | 30 |
| g) 玻璃的颜色(内透射率) | 31 |
| h) 质量标准 | 31 |
| 7. 其它 | 33 |
| a) 光学玻璃毛坯的尺寸公差和最小尺寸 | 33 |
| b) 本目录中所列玻璃的生产情况 | 36 |
| c) 常用压铸毛坯的最大直径 | 39 |
| 8. 表格 | |

1. 光学玻璃牌号的名称

光学玻璃牌号的名称，是根据其所在 $\frac{n_d}{\nu_d}$ 图中的位置来命名的。阿贝 (Abbe) 常数由公式 $\nu_d = \frac{n_d - 1}{n_F - n_C}$ 确定。折射率差值 $n_F - n_C$ ，被称为中部色散。当以 $n_{F'} - n_{C'}$ 作为中部色散时，阿贝常数表示为 $\nu_e = \frac{n_e - 1}{n_{F'} - n_{C'}}$ 。

在 $\frac{n_d}{\nu_d}$ 图中，各种玻璃被分成若干类。图中的每种玻璃牌号，是用缩写字母表示的类别名称，再标上一数字而组成的。本目录除列出了我们惯用的各玻璃牌号的名称外，还列出了 6 个数字，其中前 3 个数字表示折射率 n_d ，后三个数字表示阿贝常数 ν_d 。（例如，BK7 $n_d = 1.51680$ ， $\nu_d = 64.17$ ，可表示为 BK7-517642）。

各类玻璃按递减的 ν_d 值列出。

按传统习惯， $n_d > 1.60$ ， $\nu_d > 50$ 和 $n_d < 1.60$ ， $\nu_d > 55$ 的各类玻璃，命名为“冕牌”(K)玻璃。其余各类玻璃命名为“火石”玻璃。图中的“K”类玻璃还包括轻钡冕玻璃(BaLK)和锌冕玻璃(ZK)。用特殊符号来区分短火石玻璃(KzF)和特短火石玻璃(KzFS)。

某些 LaK 和 LaSF 类玻璃的光学参数，只有加入氧化钍才能获得，这几种玻璃在“特殊性能”一栏中用“Th”注明。

2. 光 学 性 能

a) 折射率和色散

折光率是用如下 13 条光谱线来确定的：

| 光谱线 | 汞紫外线 | 汞紫线 | 汞蓝线 | 镉蓝线 | 氢蓝线 | 汞绿线 | 氯黄线 | 钠黄线 | 镉红线 | 氢红线 | 氯红线 | 铯红外线 | 汞红外线 |
|-------------|--------|--------|--------|--------|--------|--------|--------|--------|--------|--------|--------|--------|---------|
| 元素符号 | Hg | Hg | Hg | Cd | H | Hg | He | Na | Cd | H | He | Cs | Hg |
| 波长 (毫微米) | 365.01 | 404.66 | 435.84 | 479.99 | 486.13 | 546.07 | 587.56 | 589.29 | 643.85 | 656.27 | 706.52 | 852.11 | 1013.98 |

每种玻璃所列折射率，表示同一炉号中，几块玻璃熔体折射率的平均值。所测数值已经作了这样的变换， n_d 值与以前目录中的数据，吻合到小数点第五位，阿贝常数和其它波长折射率，较以前的目录则有少许变化。

为了消除可能的系统误差，所有测量都是用两种不同的方法来进行的。色散($n_{\lambda_1} - n_{\lambda_2}$)在可见光谱区，可测到 $\pm 3 \times 10^{-6}$ 的精度，在不可见光谱区，可测到 $\pm 5 \times 10^{-6}$ 的精度。

本目录所列的全部相对部分色散，都是用测到小数点 6 位的折射率来计算出的。除所列出的相对部分色散之外，如还需要具有小数点四位的相对部分色散，也必须用精确到小数点六位的折射率来确定。这些折射率可用色散公式来算出(见下节)。

同一炉号玻璃熔体的实际数据另有附表。我们所做的“标准测量”，使折射率的精度达 $\pm 3 \times 10^{-5}$ ，色散的精度达 $\pm 2 \times 10^{-5}$ 。折射率和色散的数据达 5 位小数。“精密测量”，使折射率和色散分别达到 $\pm 1 \times 10^{-5}$ 和 $\pm 3 \times 10^{-6}$ 的精度。这种情况下，折射率为 5 位小数，色散为 6 位小数。在这些数据表中，还注明了温度和大气压的影响。

在提高精度的情况下，还可以使折射率达到 $\pm 5 \times 10^{-6}$ 的精度，使色散达 $\pm 2 \times 10^{-6}$ 的精度。

b) 色 散 公 式

除了本目录所列的折射率之外，在许多情况下，还需要知道另外一些波长的折射率，它们可由色散公式算出。为了在 365~1014 毫微米光谱范围内求出光学玻璃的色散值，我们运用了如下的方程式：

$$n^2 = A_0 + A_1 \lambda^2 + A_2 \lambda^{-2} + A_3 \lambda^{-4} + A_4 \lambda^{-6} + A_5 \lambda^{-8} \quad (1)$$

利用这个方程式和本目录所列出的各类玻璃的常数 A_0 , A_1 , A_2 , A_3 , A_4 , A_5 , 就可在 400~750 毫微米光谱范围内, 计算出折射率达 $\pm 3 \times 10^{-6}$ 的精度; 在 365—400 毫微米和 750~1014 毫微米光谱范围内所计算的折射率精度是 $\pm 5 \times 10^{-6}$ 。(在这个公式中, λ 必须用微米)。

玻璃的色散值还可用其它方程式求出。方程式(1)是理论色散公式经一系列发展而来的。为了尽可能提高精度, 必须用全部测定值去确定常数 A_0 , A_1 , A_2 , A_3 , A_4 , A_5 。因此, 公式(1)的系数就要用最小二乘数的方法来算出。进一步的研究表明, 公式(1)的精度(即, 只限于 $A_1\lambda^2$ 和 $A_5\lambda^{-8}$ 各项)接近于测量色散值的精度。

c) 二级光谱

如果波长 x 和 y 的相对部分色散, 用如下方程式来表示,

$$P_{x,y} = \frac{n_x - n_y}{n_F - n_C} \quad (2)$$

那么, 正如阿贝所表示的那样, 对于大多数所谓“正常玻璃”来说, 如下的线性关系是近似成立的。

$$P_{x,y} \approx a_{xy} + b_{xy} \cdot \nu_d = \tilde{P}_{x,y} \quad (3)$$

众所周知, 二级光谱的校正, 即对两个以上的波长消色差, 至少就需要用一种不符合这一公式的玻璃。最好的解决办法是找到一些玻璃, 它明显地偏离阿贝经验公式, 也就是说, 其部分色散与用阿贝经验公式所得的结果有偏差。

该偏差值用纵座标差 ΔP 来表示, 则每个 $P-\nu_d$ 点便相对于阿贝“正常线”平移了 ΔP 量。方程式(3)如用更普遍使用的关系式(4)来代替, 则

$$P_{x,y} = a_{x,y} + b_{x,y} \cdot \nu_d + \Delta P_{x,y} = \tilde{P}_{x,y} + \Delta P_{x,y} \quad (4)$$

这样， $\Delta P_{x,y}$ 一项就定量地表示了与“正常玻璃”相比时的偏差色散的特性。

每种玻璃牌号，都列出了如下五种相对部分色散偏离“正常线”的偏差值 ΔP 。

$$P_{C,t} = \frac{n_C - n_t}{n_F - n_C} \quad P_{C,s} = \frac{n_C - n_s}{n_F - n_C}$$

$$P_{F,e} = \frac{n_F - n_e}{n_F - n_C} \quad P_{g,F} = \frac{n_g - n_F}{n_F - n_C} \quad P_{i,g} = \frac{n_i - n_g}{n_F - n_C}$$

图 1 和图 2 表示出了 ν_d 的函数 $P_{C,t}$ 和 $P_{i,g}$ ，这是玻璃不规律状态最为明显的相对部分色散。为了便于选择具有最大偏差部分色散的玻璃，在图 3 和图 4 中把 $\Delta P_{C,t}$ 和 $\Delta P_{i,g}$ 与 ν_d 相对应地表示出来。准确的 ΔP 值列于各玻璃的数据表中。*K7* 和 *F2* 玻璃被选为“正常玻璃”。下面的“正常线”(公式 3)是由 *K7* 和 *F2* 的数值求出来的。除了已采用的那些“正常线”外，它们可以直接地把表中所列的 ΔP 值折算成“正常线”。

$$\tilde{P}_{C,t} = 0.5450 + 0.004743 \cdot \nu_d$$

$$\tilde{P}_{C,s} = 0.4029 + 0.002331 \cdot \nu_d$$

$$\tilde{P}_{F,e} = 0.4884 - 0.000526 \cdot \nu_d$$

$$\tilde{P}_{g,F} = 0.6438 - 0.001682 \cdot \nu_d$$

$$\tilde{P}_{i,g} = 1.7241 - 0.008382 \cdot \nu_d$$

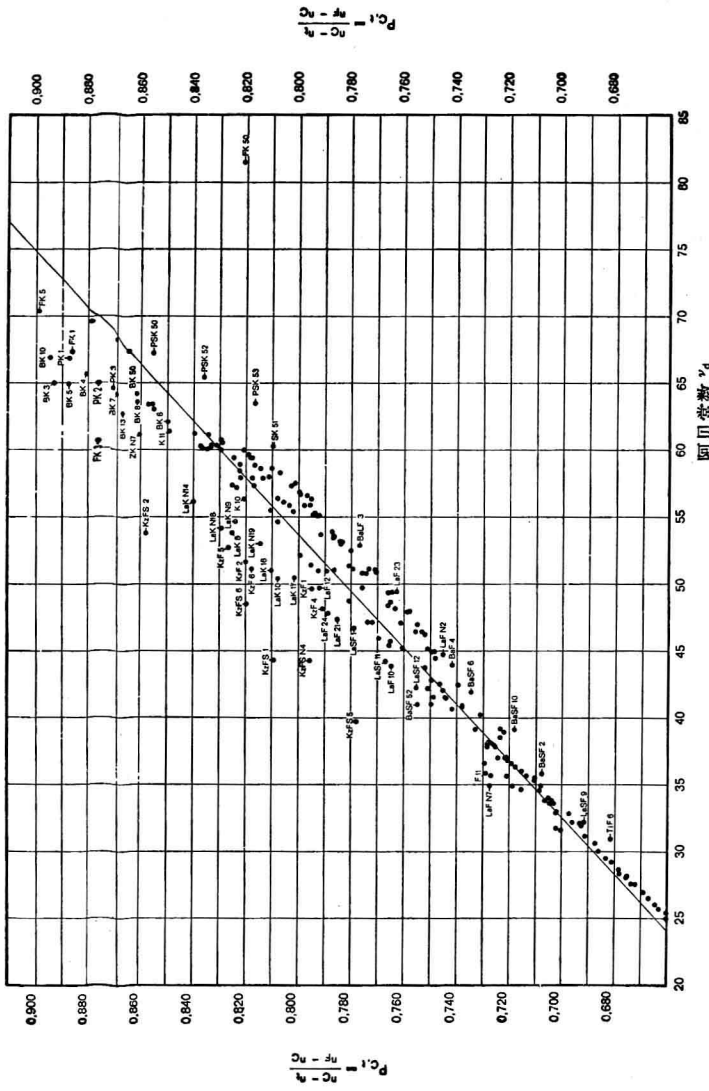
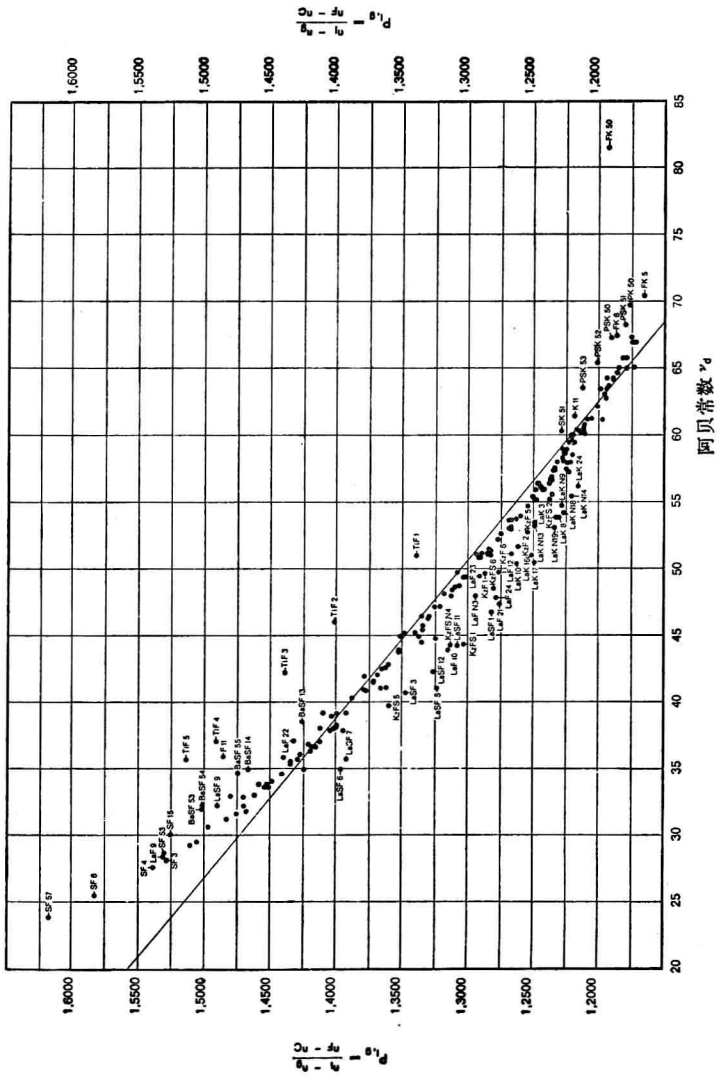


图1 以 ν_d 为变量的相对部分色散 $P_{G,t} = \frac{n_G - n_t}{n_F - n_G}$

图2 以 ν_d 为变量的相对部分色散 $P_{i,g} = \frac{n_i - n_g}{n_F - n_O}$



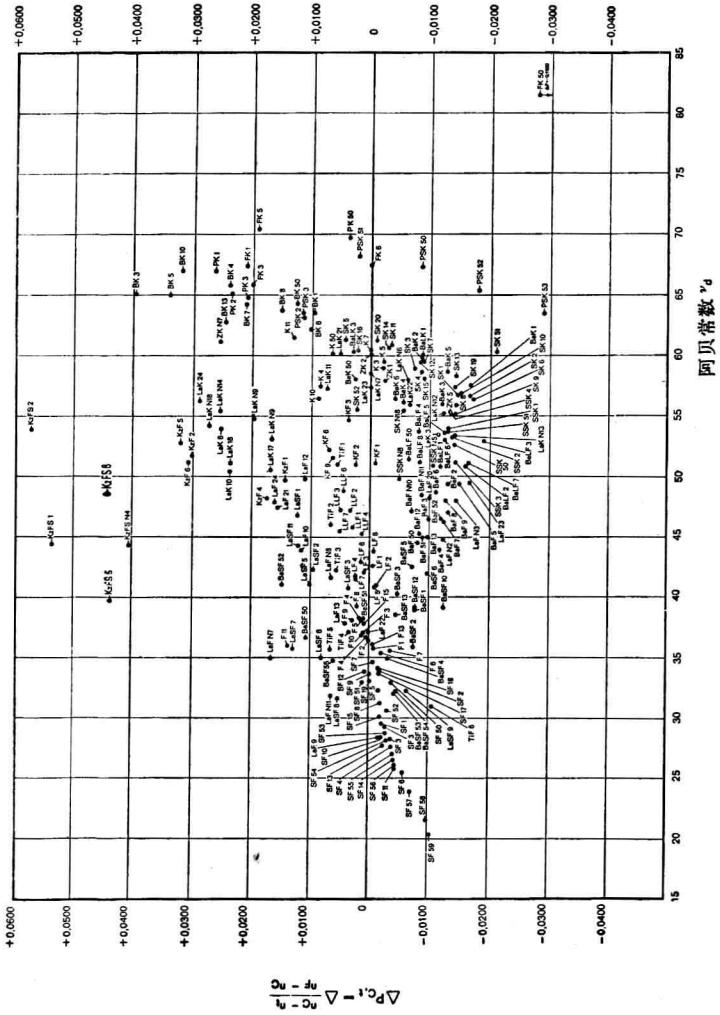


图 3 偏离“正常线”的相对部分色散偏差 $\Delta P_{C,i} = \Delta \frac{n_O - n_i}{n_F - n_O}$

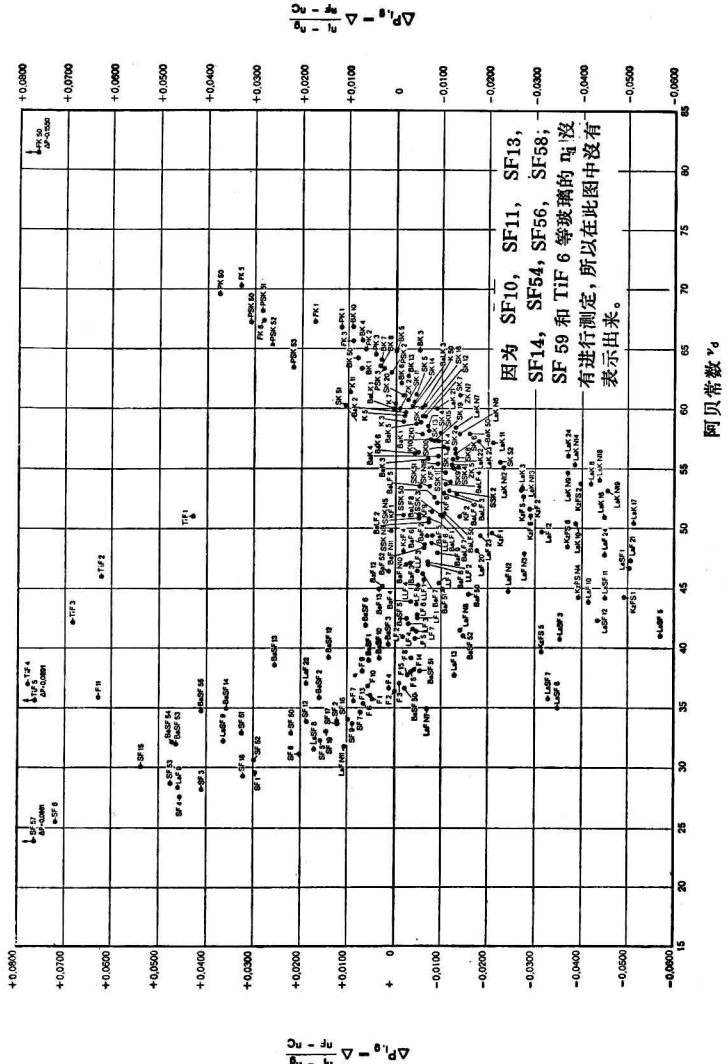


图 4 偏离“正常线”的相对部分色散偏差 $\Delta P_{i,g} = \Delta \frac{n_i - n_g}{n_F - n_C}$

d) 温度对折射率和色散的影响

折射率的溫度系数 $\frac{\Delta n}{\Delta t}$, 是根据波长 λ 、溫度 t 和大气压
力 P 来确定的。

必须把相对系数 $\frac{\Delta n}{\Delta t}$ 相对 和绝对系数 $\frac{\Delta n}{\Delta t}$ 绝对 相区别。 $\frac{\Delta n}{\Delta t}$ 相对
是在玻璃溫度和周围空气溫度相同以及大气压为 760 毫米汞柱

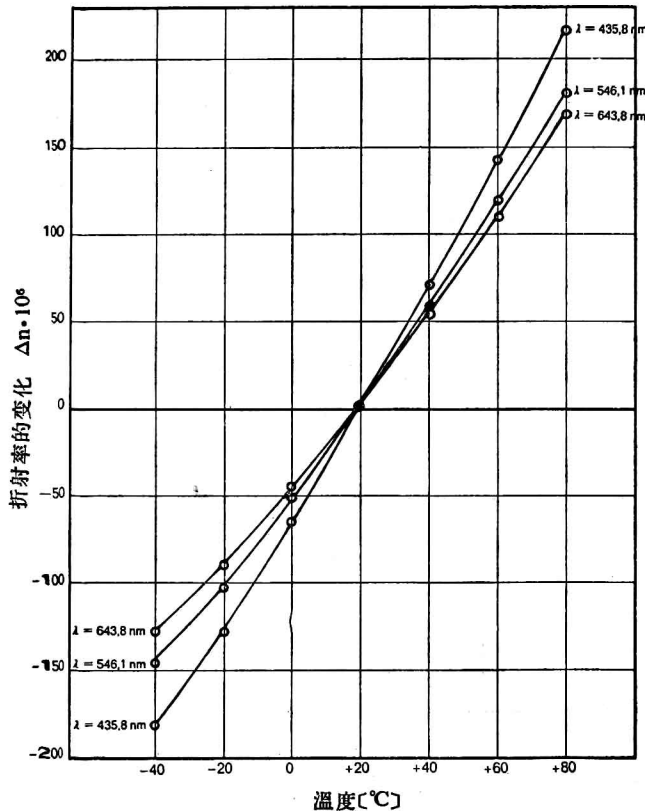


图 5 BK7 玻璃在 $-40 \sim 80^\circ\text{C}$ 溫度范围内的折射率变化

的情况下测出的; $\frac{\Delta n}{\Delta t}$ 绝对是在真空中测出的。

折射率溫度系数 $\frac{\Delta n}{\Delta t}$ 是在以 20°C 为一个溫度间隔的条件下, 对波长 $\lambda=643.8$ 毫微米, $\lambda=587.6$ 毫微米, $\lambda=546.1$ 毫

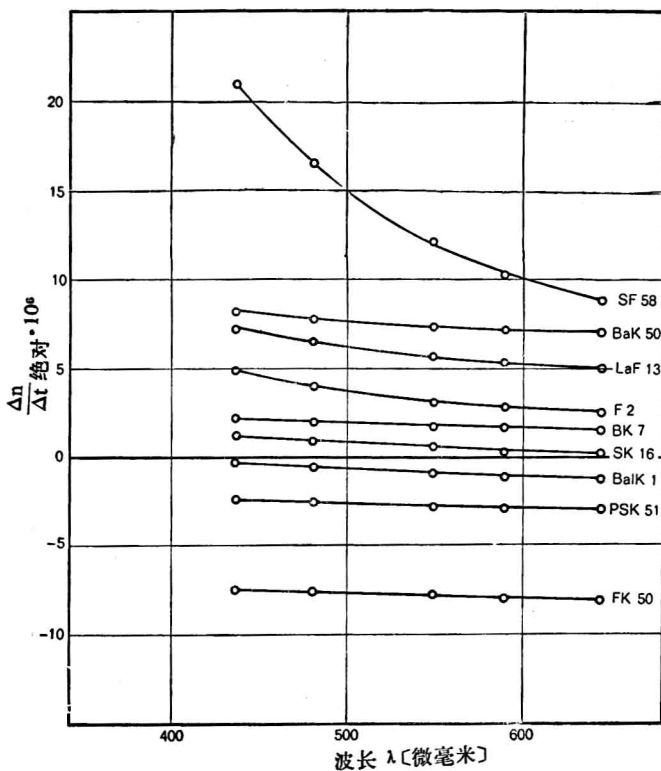


图 6 以波长 λ 为变量的某些光学玻璃的折射率溫度

系数 $\frac{\Delta n}{\Delta t}$ 绝对 (溫度范围为 20~40°C)

微米, $\lambda=480.0$ 毫微米和 $\lambda=435.8$ 毫微米来测出的。进行这些测量的温度范围为 $-40 \sim 80^\circ\text{C}$ 。本表暂时所列的大多数玻璃的温度系数, 仅适用于较小的温度范围。

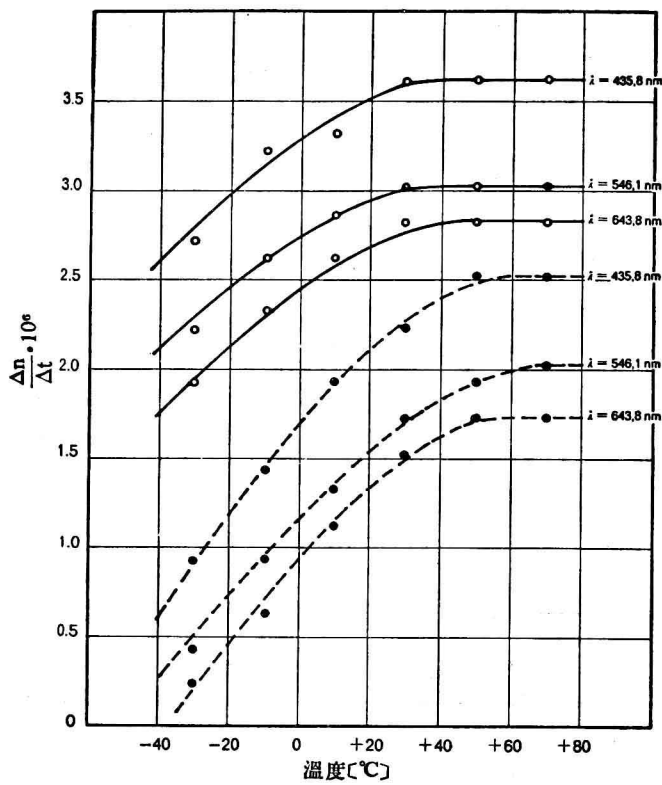


图 7 以温度为变量的绝对和相对折射率温度

系数 $\frac{\Delta n}{\Delta t}$ (BK7 玻璃)

—○—○—○— $\frac{\Delta n}{\Delta t}$ 相对 —●—●—●— $\frac{\Delta n}{\Delta t}$ 绝对

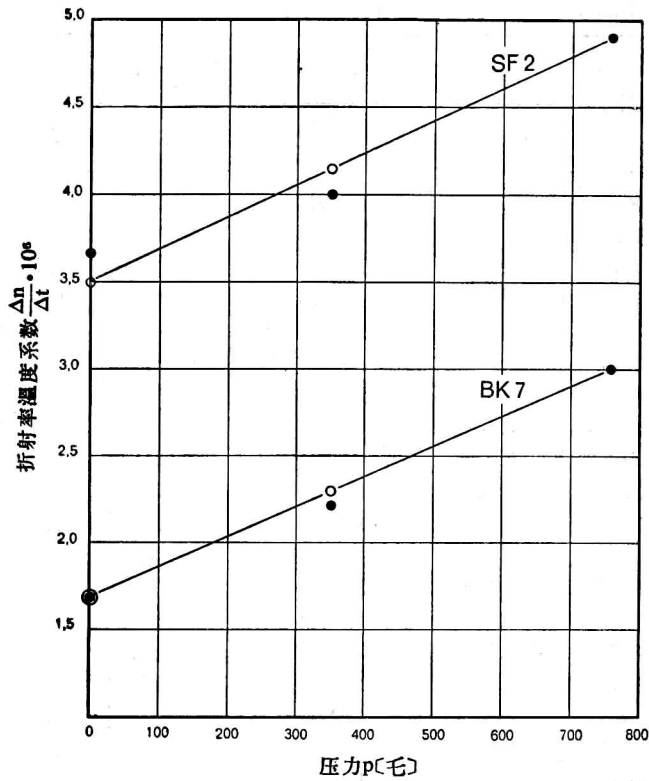


图 8 以大气压为变量的折射率温度系数 $\frac{\Delta n}{\Delta t}$ (玻璃是 SF2 和 BK7, 温度范围为 20~40°C, 波长 $\lambda = 546.1$ 毫微米)。

○○○ 计算值 ●●● 测量值,

e) 紫外光谱的折射率

紫外光谱的折射率, 是用与光电池相连接的球面反射光学系统来测定出的。